

### III-11 鋼管矢板の応力計算について

室蘭工業大学 正員 能町純雄  
開発局、土木試験所 正員 菊地理  
開発局、土木試験所○正員 森康夫

#### 1. はじめに

最近、鋼管杭を1列に、直線または曲線なりに並べて互にヒンジで結合して、基礎工構造物の一部として用いられる場合がある。このような鋼管パイアル構造の横方向外力に対する力学的検討は實際上要求されることがある。また構造力学上からも興味あるテーマと言える。ここでは図-1に示すような三本の鋼管パイアルについて、パイアルの曲げに関する基本微分方程式を求め水平力を対する応力解析を行ない、模型実験による結果との対比、考察を行なったものである。

#### 2. 基本方程式

三本のくいが連続して、ヒンジ結合している場合、いま一本のくいの形状とともに作用する荷重、地盤反力を図-2と仮定する。これらの外力を水平変位のみを生ずる力と、くいの回転のみを生ずる力とに分けて考える(図-3)

$w_a, w_b$  を  $a, b$  点の水平方向変位、 $k$  を地盤反力係数とする

$$\text{図-3(a)から} \quad \frac{EI}{2} \frac{d^4}{dx^4}(w_a + w_b) = P + 2g' - k a \frac{w_a + w_b}{2} \quad (1)$$

$$\text{図-3(b)から} \quad GJ \frac{d^2}{dx^2}(w_b - w_a) = -g'' a + \frac{k a^2}{12} (w_b - w_a) \quad (2)$$

左左し図-2.3は各のくいの軸方向を示す。

$$g'' \pm g' = \begin{cases} g_b \\ g_a \end{cases} \quad (3)$$

#### 3. 3本ぐいの場合

図-1のように3本くいが連結されており、しかも両端の2本のくいは有限で、他の1本は無限長である場合、簡単のため3本のくいは同じ材質のものとし、直径を同じものとし、荷重は中央ぐいの先端に水平力  $P$  が作用するものとする

この場合  $l < l$  の範囲で

$$w_0 = w_b, \quad w_1 = w_a, \quad g_{01} = g_{12}, \quad g_{10} = g_{21}$$

$$g_{12} = g_{21}, \quad P = 0, \quad g_{01} = 0, \quad g_{10} = g_{21}$$

となる。従って

$$-g_{01} = \frac{EI}{4} (\ddot{w}_0 + \ddot{w}_1) + \frac{GJ}{a^2} (\ddot{w}_1 - \ddot{w}_0) + \frac{ka}{6} (2w_0 + w_1) = 0 \quad (4)$$

$$g_{10} = \frac{EI}{4} (\ddot{w}_0 + \ddot{w}_1) - \frac{GJ}{a^2} (\ddot{w}_1 - \ddot{w}_0) + \frac{ka}{6} (2w_1 + w_0)$$

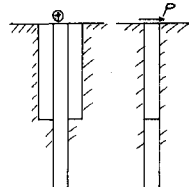


図-1

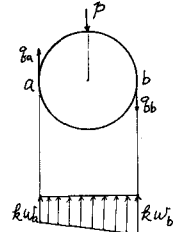


図-2

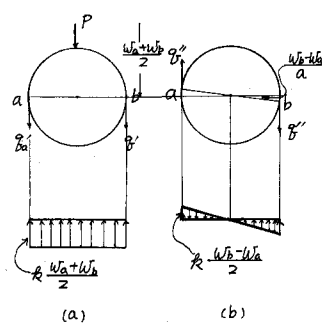


図-3

$$g_{12} = -\frac{EI}{2}\ddot{w}_1 - \frac{k_a}{2}w_1$$

$$\therefore \frac{EI}{2}(2\ddot{w}_1 + \ddot{w}_o) - \frac{GJ}{a^2}(\ddot{w}_1 - \ddot{w}_o) + \frac{k_a}{2}(5w_1 + w_o) = 0 \quad (5)$$

(4) + (5) から

$$\frac{EI}{2}(2\ddot{w}_1 + \ddot{w}_o) + \frac{k_a}{2}(2w_1 + w_o) = 0 \quad (6)$$

(5) - 2×(4) から

$$\frac{EI}{4}(\ddot{w}_1 - \ddot{w}_o) - \frac{3GJ}{a^2}(\ddot{w}_1 - \ddot{w}_o) + \frac{k_a}{2}(w_1 - w_o) = 0 \quad (7)$$

$$\text{従って } 2w_1 + w_o = u_1, \quad w_1 - w_o = v \text{ と } \tau_3 \text{ と}$$

$$EI\ddot{u}_1 + k_a u_1 = 0 \quad (8), \quad EI\ddot{v} - \frac{12GJ}{a^2}\ddot{v} + 2k_a v = 0 \quad (9)$$

(9), (10) 式を解くと  $\ddot{v}$  が得られる

$$u = u_1 F(\xi) + u_0 F(1-\xi) - \frac{l^2}{2x^2} \left\{ \ddot{u}_1 R(\xi) + \ddot{u}_0 R(1-\xi) \right\} \quad (11)$$

$$v = \frac{1}{2} \ddot{v}_1 \left\{ \psi(\xi) + \frac{B_2^2 + B_1^2}{B_2^2 - B_1^2} \phi(\xi) \right\} + \frac{1}{2} \ddot{v}_0 \left\{ \psi(1-\xi) + \frac{B_2^2 + B_1^2}{B_2^2 - B_1^2} \phi(1-\xi) \right\} \\ - \ddot{v}_1 \frac{l^2}{B_2^2 - B_1^2} \phi(\xi) - \ddot{v}_0 \frac{l^2}{B_2^2 - B_1^2} \phi(1-\xi) \quad (12)$$

$$\therefore \ddot{F}(\xi) = \frac{\cosh x(1+\xi) \cos x(1-\xi) - \cosh x(1-\xi) \cos x(1+\xi)}{\cosh 2x - \cos 2x}$$

$$R(\xi) = \frac{\sinh x(1+\xi) \sin x(1-\xi) - \sinh x(1-\xi) \sin x(1+\xi)}{\cosh 2x - \cos 2x}$$

$$\psi(\xi) = \frac{\sinh B_1 \xi}{\sinh B_1} + \frac{\sinh B_2 \xi}{\sinh B_2}$$

$$\phi(\xi) = \frac{\sinh B_1 \xi}{\sinh B_1} - \frac{\sinh B_2 \xi}{\sinh B_2}$$

$$u_1 = u|_{x=l}, \quad u_0 = u|_{x=0}, \quad \ddot{u}_1 = \frac{du}{dx}|_{x=l}, \quad \ddot{u}_0 = \frac{du}{dx}|_{x=0}$$

$v_1, v_0, \ddot{v}_1, \ddot{v}_0$  についても同様であり、 $\xi = \frac{x}{l}$ ,  $l$ : 短ぐいの長さである。

中心ぐいについては、 $\xi' = (x-l)/l$  とし

$$EI\ddot{w}_1 + k_a w_1 = 0 \quad (13) \quad \therefore w_1 = e^{-\alpha \xi'} (A \cos \xi' + B \sin \xi') \quad (14)$$

$$\alpha = \sqrt{\frac{k_a l^4}{4EI}}$$

$$B_1 = \frac{6GJ}{EI} \left( \frac{l}{a} \right)^2 \pm \sqrt{\left( \frac{6GJ}{EI} \right)^2 \left( \frac{l}{a} \right)^4 - \frac{2k_a}{EI} l^4}$$

(11), (12), (14) 式の積分定数  $u_1, u_0, \dots$

$A, B$  を境界条件を満足するように定めることにより、この解を求めることが出来た。

## 4. 境界条件

$x=0$  に対する

$$M_{1,0} = -EI\left(\frac{\ddot{w}_1 + \ddot{w}_o}{2}\right) = 0, \quad M_{1,2} = -EI\ddot{w}_1 = 0 \quad \therefore \ddot{u}_0 = \ddot{v}_0 = 0 \quad (15)$$

$$Q_{1,0} = -\frac{EI}{4}(\ddot{w}_1 + \ddot{w}_o) - \frac{GJ}{a^2}(\dot{w}_1 - \dot{w}_o) = 0$$

$$Q_{1,0} = \frac{EI}{4}(\ddot{w}_1 + \ddot{w}_o) - \frac{GJ}{a^2}(\dot{w}_1 - \dot{w}_o)$$

$$Q_{1,0} = -\frac{EI}{2}\ddot{w}_1$$

1 節のせん断力のつり合いで

$$Q_{1,0} - Q_{1,2} - \frac{P}{2} = 0$$

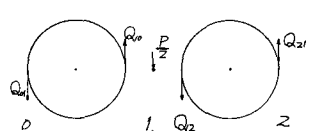


図-4

$$\text{従} \rightarrow 7 \frac{EI}{4} (3\ddot{\omega}_i + \ddot{\omega}_o) - \frac{GJ}{\alpha^2} (\dot{\omega}_i - \dot{\omega}_o) = \frac{P}{2}$$

$$\therefore \ddot{\omega}_o = \frac{P}{EI} \quad (16) \quad \ddot{\omega}_i - \frac{12GJ}{\alpha^2 EI} \dot{\omega}_o = \frac{2P}{EI} \quad (17)$$

$\chi = l/2 \neq l/2$

$$M_{o1} = -\frac{EI}{2} (\ddot{\omega}_i + \ddot{\omega}_o) = 0, \quad M_{i1} = -EI \ddot{\omega}_i = M_e$$

$$\therefore \ddot{U}_e = -\frac{M_e}{EI}, \quad \ddot{V}_e = -\frac{2M_e}{EI} \quad (18)$$

$$Q_o - Q_{i2} + \frac{Q_e}{2} = 0$$

$$\therefore \ddot{U}_e = -\frac{Q_e}{EI} \quad (19) \quad \ddot{V}_e - \frac{12GJ}{\alpha^2 EI} \dot{U}_e = -\frac{2Q_e}{EI} \quad (20)$$

$$\text{また } \dot{U}_i|_{x=0} = \dot{U}_i|_{x=0} \text{ から } A = \frac{1}{3} (\dot{U}_e + \dot{V}_e) \quad (21)$$

$$EI \ddot{\omega}_i|_{x=0} = EI \ddot{\omega}_i|_{x=0} = -M_e \text{ から } B = \frac{l^2}{2\alpha^2} \frac{M_e}{EI} \quad (22)$$

$$\text{また } \dot{U}_i|_{x=0} = \dot{U}_i|_{x=0} \quad \therefore -\frac{\chi}{l} (A - B) = \frac{1}{3} (\dot{U}_e + \dot{V}_e) \quad (23)$$

$$EI \ddot{\omega}_i|_{x=0} = 2(\frac{\chi}{l})^3 (A + B) = -Q_e \quad (24)$$

: ここで (15) ~ (24) 式を (11), (12), (14) 式を代入し、整理すると次の 5 元連立方程式が得られる。

$$2\alpha^3 \left\{ 1 + 3P(1) \right\} U_e - 6\alpha^3 P(0) U_o + 2\alpha^3 V_e + 3\alpha \left\{ 1 + G(1) \right\} \frac{M_e l^2}{EI} = 0 \quad (25)$$

$$2\alpha^3 P(0) U_e - 2\alpha^3 P(1) U_o + \alpha l^2 G(0) \frac{M_e}{EI} = \frac{P l^3}{EI} \quad (26)$$

$$-\frac{16}{3} \alpha^3 U_e + \left[ \left\{ B_1 B_2 (B_1 - B_2) + \frac{B_1^2 B_2^2}{B_1 - B_2} \right\} \chi(1) - \left\{ B_1 B_2 (B_1 + B_2) - \frac{B_1^2 B_2^2}{B_1 + B_2} \right\} w(1) - \frac{16}{3} \alpha^3 \right] V_e$$

$$- \left[ \left\{ B_1 B_2 (B_1 - B_2) + \frac{B_1^2 B_2^2}{B_1 - B_2} \right\} \chi(0) - \left\{ B_1 B_2 (B_1 + B_2) - \frac{B_1^2 B_2^2}{B_1 + B_2} \right\} w(0) \right] V_o$$

$$+ \left[ \frac{B_1 B_2}{B_2 - B_1} \chi(1) + \frac{B_1 B_2}{B_1 + B_2} w(1) - 2\alpha \right] \frac{2M_e l^2}{EI} = 0 \quad (27)$$

$$\left[ \left\{ B_1 B_2 (B_1 - B_2) + \frac{B_1^2 B_2^2}{B_1 - B_2} \right\} \chi(0) - \left\{ B_1 B_2 (B_1 + B_2) - \frac{B_1^2 B_2^2}{B_1 + B_2} \right\} w(0) \right] V_e$$

$$- \left[ \left\{ B_1 B_2 (B_1 - B_2) + \frac{B_1^2 B_2^2}{B_1 - B_2} \right\} \chi(1) - \left\{ B_1 B_2 (B_1 + B_2) - \frac{B_1^2 B_2^2}{B_1 + B_2} \right\} w(1) \right] V_o$$

$$+ \left\{ \frac{B_1 B_2}{B_2 - B_1} \chi(0) + \frac{B_1 + B_2}{B_1 + B_2} w(0) \right\} \frac{2M_e l^2}{EI} = \frac{4Pl^3}{EI} \quad (28)$$

$$2\alpha^3 \left\{ 1 + G(1) \right\} U_e - 2\alpha^3 G(0) U_o + \left[ \alpha^2 \left\{ \frac{B_1 B_2}{B_2 - B_1} \chi(1) + \frac{B_1 + B_2}{B_1 + B_2} w(1) \right\} + 2\alpha^3 \right] V_e$$

$$- \alpha^2 \left\{ \frac{B_1 B_2}{B_2 - B_1} \chi(0) + \frac{B_1 + B_2}{B_1 + B_2} w(0) \right\} V_o + \left[ -\alpha \left\{ 3 + P(1) \right\} + 2\alpha^2 \left\{ \frac{1}{B_2 - B_1} \chi(1) - \frac{1}{B_2 - B_1} w(1) \right\} \right] \frac{M_e l^2}{EI}$$

$$\therefore \text{ " } \quad = 0 \quad (29)$$

$$P(3) = \frac{\sinh \alpha (1+3) \cosh \alpha (1-3) - \cosh \alpha (1+3) \sinh \alpha (1-3)}{\cosh 2\alpha - \cos 2\alpha}$$

$$\times \left\{ \sinh \alpha (1-3) \cosh \alpha (1+3) - \cosh \alpha (1-3) \sinh \alpha (1+3) \right\}$$

$$G(3) = \frac{1}{\cosh 2\alpha - \cos 2\alpha} \left\{ \cosh \alpha (1+3) \sinh \alpha (1-3) + \sinh \alpha (1+3) \cosh \alpha (1-3) \right. \\ \left. + \cosh \alpha (1-3) \sinh \alpha (1+3) + \sinh \alpha (1-3) \cosh \alpha (1+3) \right\}$$

$$\begin{cases} \chi(3) \\ w(3) \end{cases} = \frac{\cosh B_1 \beta}{\sinh B_1} \mp \frac{\cosh B_2 \beta}{\sinh B_2}$$

(25) ~ (29) 式を解いて  $U_o, U_i, V_o, V_i, M_e$  を求めることにより全ての解をえらべることが出来た。

## 5. 数値計算例と実験結果との比較

外径 4", 内径 3.6" のペイ 7° として模型実験を行ったので、これと理論値との比較を行う。  
理論計算に用いた数値は

$a = 4\text{cm}$ ,  $E = 7.2 \times 10^5 \text{kg/cm}^2$ ,  $G = 2.7 \times 10^5 \text{kg/cm}^2$ ,  $I = 4.32\text{cm}^4$ ,  $J = 2.64\text{cm}^4$ ,  $Ka = 0.65\text{kg/cm}^2$  に対する  $\lambda = 40, 60, 80\text{cm}$  の 3 種である。

これらの結果を図-5, 6, 7, 8 に示す。

左左し、実験結果は中心ぐいの長さが全て  $2.2\text{cm}$  の場合である。

図-5 は、 $\lambda = 60\text{cm}$  の場合の荷重-水平変位曲線の実験値と、種々の  $Ka$  値に対する理論曲線とを示したものであるが、これによると変位の小さい場合には  $Ka = 0.65$  とした場合の理論に近く、変位が大きくなるにつれて、その実験値は  $Ka$  が小さい場合に近くなっている。また図-6～8 に示すように応力の分布図は  $\lambda < l$  の範囲では理論値と実験値はほぼ似た値を示しているが、 $\lambda > l$  ではかなり異なった傾向を示している。この原因としては理論解析では長さを無限としていること、深さによって  $Ka$  値が大きくなっているのではないか等が考えられるが、この点に関してはさらなる検討中である。

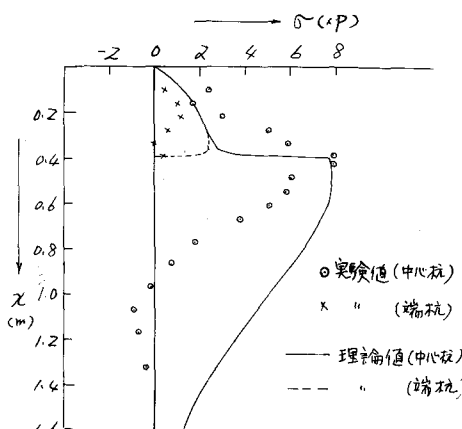


図-6 応力分布図 ( $l=40\text{cm}$ )

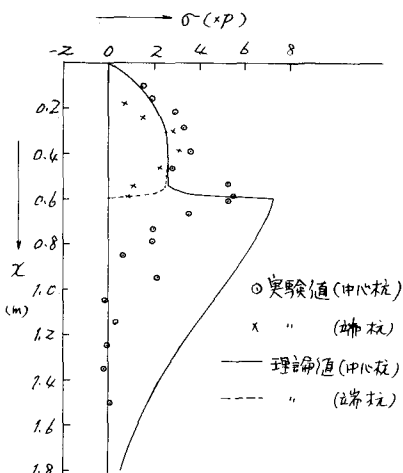


図-7 応力分布図 ( $l=60\text{cm}$ )

図-5 荷重-変位曲線

